

ОБЪЕДИНЕННЫЙ ИНСТИТУТ ЯДЕРНЫХ ИССЛЕДОВАНИЙ  
ЛАБОРАТОРИЯ ФИЗИКИ ВЫСОКИХ ЭНЕРГИЙ ИМ. В.И.ВЕКСЛЕРА  
И А.М. БАЛДИНА

*На правах рукописи*  
*Аркадий Терехин*

Терехин Аркадий Аркадьевич

Исследование дифференциального сечения  
реакции  $dp$  - упругого рассеяния при энергиях  
1 - 2 ГэВ

01.04.16 – физика атомного ядра и элементарных частиц

АВТОРЕФЕРАТ  
диссертации на соискание учёной степени  
кандидата физико-математических наук

Дубна – 2020

Работа выполнена в Лаборатории Физики Высоких Энергий им. В.И. Векслера и А.М. Балдина  
Объединенного института ядерных исследований

### **Научный руководитель**

**Ладыгин Владимир Петрович**, доктор физико-математических наук, Лаборатория физики высоких энергий им. В.И. Векслера и А.М. Балдина, начальник сектора №2 НЭОСФМС

### **Официальные оппоненты**

**Мочалов, Василий Вадимович**, доктор физико-математических наук, ведущий научный сотрудник Отделения экспериментальной физики ФГБУ ГНЦ ИФВЭ НИЦ «Курчатовский институт»

**Львов Анатолий Иосифович**, кандидат физико-математических наук, заведующий отделом ядерных исследований Физического института имени П. Н. Лебедева РАН

С электронной версией диссертации можно ознакомиться на официальном сайте Объединенного института ядерных исследований в информационно-телекоммуникационной сети «Интернет» по адресу: <http://lib.jinr.ru> С печатной версией диссертации можно ознакомиться в Научно-технической библиотеке ОИЯИ (г. Дубна, Московская область, ул. Жолио-Кюри, д. 6).

Ученый секретарь диссертационного совета  
кандидат физико-математических наук



В.А. Арефьев

# Общая характеристика работы

## Актуальность темы.

Согласно современным научным представлениям об элементарных частицах нуклоны рассматриваются как сложные объекты, состоящие из夸ков, взаимодействие между которыми осуществляется глюонами. Мезонные степени свободы проявляются в ядерных процессах на относительно больших межнуклонных расстояниях. При описании нуклон-нуклонных ( $NN$ ) взаимодействий используются феноменологические потенциалы, основанные на обмене мезонами. Такие потенциалы (CD-Bonn, Nijmegen, AV18, Paris) воспроизводят данные при энергиях до 350 МэВ. Однако, даже при энергиях выше 100 МэВ при описании дифференциального сечения  $Nd$  – рассеяния были выявлены расхождения результатов трехнуклонных расчетов при использовании только парных  $NN$  - сил с экспериментальными данными. Включение в расчеты релятивистских эффектов и стандартных  $3N$  сил (Таксон-Мельнбурская, Урбанская-IX, Фуджита-Миязавы) позволяет улучшить согласие теории с экспериментом [1]. Тем не менее, с ростом энергии расхождения увеличиваются. Другим подходом в теоретических исследованиях ядерных сил при низких энергиях является подход эффективной киральной теории, основанной на КХД [2].  $NN$  – потенциал, построенный в рамках этой модели, также как и феноменологические потенциалы, в целом, правильно описывает фазовые сдвиги  $NN$  – рассеяния вплоть до 300 МэВ.

Развитие вышеуказанных подходов позволяет приблизиться к пониманию того, каким образом происходит переход от КХД к адронной физике, от глюонного обмена между кварками к мезонному обмену между нуклонами.

С увеличением энергии начинают вступать в силу релятивистские эффекты, которые могут оказывать значительное влияние на различные наблюдаемые. Поэтому учет релятивистских эффектов необходим для описания свойств сильного взаимодействия и структуры легких ядер. Также при больших переданных импульсах начинают играть роль ненуклонные степени свободы, которые проявляются как  $\Delta\Delta$ ,  $NN^*$ ,  $N^*N^*$ ,  $6q$  и др.

Для случая высоких энергий и больших поперечных импульсов уста-

новлены правила кваркового счёта (ПКС), определяющие характер энергетической зависимости дифференциального сечения произвольной бинарной реакции рассеяния на большие углы. Анализ экспериментальных данных по сечению  $dp \rightarrow pd$  и  $dd \rightarrow^3 He n$  реакций показал, что область, соответствующая ПКС, начинается при энергиях  $E_d \sim 500$  МэВ.

Дейtron, как простейшее ядро, имеющее спин  $J = 1$ , четность  $P: J^P = 1^+$ , и изоспин  $I = 0$ , представляет особый интерес по ряду причин. Он является наиболее простой ядерной системой, которая может быть исследована экспериментально и теоретически с высокой точностью. Изучение структуры дейтрана может дать информацию о роли различных эффектов в ядрах, таких как вклады  $\Delta$ -изобар, кварковых степеней свободы.

К настоящему времени накоплен значительный экспериментальный материал о дейтране, полученный с помощью лептонных и адронных пробников. В тоже время, структура дейтрана до сих пор остается до конца не изученной. Одним из самых простых типов взаимодействия с участием дейтрана является  $dp$  ( $pd$ ) - упругое рассеяние. Эта реакция на протяжении многих лет является предметом теоретических и экспериментальных исследований. Для описания экспериментальных данных при энергиях до 300 МэВ/нуклон используются различные модели двухнуклонного ( $2N$ ) и трехнуклонного ( $3N$ ) взаимодействий с использованием парных и трехнуклонных потенциалов. Как для дифференциального сечения, так и для поляризационных наблюдаемых установлена общая закономерность, а именно: вычисления с учетом только  $2N$  - сил дают существенные расхождения с экспериментом, особенно при больших углах рассеяния. Включение в расчеты  $3N$  - сил или  $\Delta$ -изобары обеспечивает лучшее согласие с данными. Однако, с увеличением энергии все расчеты расходятся с полученными данными. Это указывает на отсутствие правильного описания спиновой части современных моделей  $3N$  сил и на необходимость дополнительных, более сложных расчетов.

Для описания  $dp$  - упругого рассеяния при энергиях выше 400 МэВ/нуклон используются подходы, основанные на дифракционной теории многократного рассеяния Глаубера-Ситенко. Изучение различных на-

бллюдаемых при таких энергиях поможет понять механизмы проявления фундаментальных степеней свободы на расстояниях, сравнимыми с размерами нуклона. Для этой цели необходимо наличие богатого экспериментального материала в диапазоне энергий, для которого возможно применение развивающихся теоретических подходов.

**Целью** данной работы является получение новых данных по дифференциальному сечению и векторной анализирующей способности  $A_y dp$  упругого рассеяния в диапазоне энергий 500 – 1000 МэВ/нуклон и их сравнение с существующими экспериментальными данными, а также с предсказаниями различных теоретических моделей.

Для достижения поставленной цели необходимо было решить следующие **задачи**:

1. Подготовка и проведение измерений.
2. Разработка процедуры выделения полезных событий на основе процедуры  $CH_2 - C$  – вычитания, используя амплитудную и временную информацию со сцинтилляционных детекторов.
3. Получение угловых зависимостей по дифференциальному сечению при энергиях 500, 650, 700, 750, 900 и 1000 МэВ/нуклон.
4. Получение угловой зависимости для анализирующей способности  $A_y$  при энергии 1000 МэВ/нуклон.
5. Проведение сравнительного анализа полученных результатов с данными других экспериментов и с предсказаниями теории.

**Личный вклад автора** состоит в активном участии в подготовке и проведении измерений на Нуклотроне, анализе экспериментальных данных, вычислении угловых зависимостей исследуемых наблюдаемых, а также личной апробации исследования: подготовка публикаций, участие в конференциях, написание тезисов докладов.

**Положения, выносимые на защиту:**

1. Результаты по измерению угловых зависимостей для дифференциального сечения  $dp$  - упругого рассеяния при шести значениях энергий: 500, 650, 700, 750, 900 и 1000 МэВ/нуклон, полученные на Станции внутренних мишеней Нуклотрона в 2012 – 2015 гг, а также результаты

по дифференциальному сечению и векторной анализирующей способности  $A_y$  при энергии 1000 МэВ/нуклон, полученных в экспериментах по изучению дейtron-протонного взаимодействия на выведенных пучках Синхрофазотрона с использованием водородной пузырьковой камеры.

2. Результаты сравнения полученных угловых зависимостей с данными других экспериментов, выполненных в лабораториях NASA (Radiation Effects Laboratory, Lewis Research Center), Лос-Аламос центре (LAMPF), Брукхейвенской Национальной Лаборатории (BNL) при близких значениях энергий, а так же с теоретическими вычислениями, выполненными в рамках релятивистской теории многократного рассеяния.
3. Анализ энергетических зависимостей дифференциального сечения при фиксированных углах рассеяния в с.ц.м. и их сравнение с предсказаниями правил квarkового счета.

**Научная новизна.** В результате обработки данных, полученных на Станции внутренних мишеней Нуклотрона впервые получены угловые зависимости по дифференциальному сечению  $dp$  - упругого рассеяния для энергий 500, 700, 750 и 900 МэВ/нуклон.

**Научно - практическая значимость.** Полученные данные по угловым зависимостям дифференциального сечения и векторной анализирующей способности  $A_y$  существенно пополняют экспериментальную базу данных в области энергий и углов, где развитие теоретических моделей является наиболее актуальным. Сравнение с предсказаниями теории дает новую информацию для описания трехнуклонных систем в диапазоне энергий 500 – 1000 МэВ/нуклон. Этот результат является первым этапом систематических поляризационных измерений на Станции внутренних мишеней Нуклотрона.

Основные результаты опубликованы в [A1] – [A23].

**Апробация работы.** Основные результаты работы докладывались на: XIV международном семинаре по физике спина при высоких энергиях DSPIN (Дубна, 2011), научной сессии-конференции секции ЯФ ОФН

РАН "Физика фундаментальных взаимодействий" (Москва, ИТЭФ, 2011), международных конференциях HS2013,2015 (Словакия), RNP2012,2014 (Словакия), международных Балдинских семинарах по физике высоких энергий (ОИЯИ, 2012, 2014, 2016, 2018), 69-й международной конференции «Ядро-2019» (Дубна, 2019), международной сессии-конференции СЯФ ОФН РАН (2016), постерной сессии ПКК (ОИЯИ, 2011, 2015, 2016), конференции молодых ученых и специалистов ОМУС (ОИЯИ, 2010, 2011, 2013).

**Объем и структура работы.** Диссертация состоит из введения, пяти глав, заключения, и двух приложений. Полный объем работы составляет 132 страницы, включая список литературы из 227 наименований.

## Содержание работы

**Во введении** обосновывается актуальность исследований, проводимых в рамках данной диссертационной работы, приводится обзор научной литературы по изучаемой проблеме, формулируется цель, ставятся задачи работы, сформулированы научная новизна и практическая значимость представляемой работы, также приведено содержание работы по главам.

**В первой главе** описывается постановка эксперимента на станции внутренних мишеней Нуклotronа. Глава состоит из пяти подразделов, в которых описывается экспериментальная установка, используемые детекторы, системы сбора данных, а также процедура набора статистики.

Станция внутренних мишеней Нуклотрона представляет собой систему смены мишеней, помещенную в сферическую камеру взаимодействия, из которой откачен воздух. Система смены мишеней состоит из колеса со ступицей и обода, между которыми размещены шесть различных мишеней. В течение набора данных использовалась специально разработанная система управления мишенью (ITS CDAQ - system), позволяющая подобрать траекторию движения мишени в соответствии с циклом магнитного поля таким образом, чтобы достичь максимального взаимодействия с пучком.

Пучок дейtronов из источника „Дуоплазмotron“ ускорялся линейным ускорителем ЛУ-20 до энергии 5 МэВ/нуклон и затем инжектировался в

кольцо Нуклotronа. По достижении пучком необходимой энергии в него вводились полиэтиленовая ( $CH_2$ ) или углеродная ( $^{12}C$ ) мишени. Продукты взаимодействия пучка с мишенью детектировались сцинтиляционными детекторами, расположенными в плоскости ионопровода. Набор дополнительных мониторных счетчиков был расположен в вертикальной плоскости относительно оси пучка. Упруго рассеянные дейтроны и протоны регистрировались двумя парами детекторов, размещенных зеркальным образом относительно оси ионопровода, образуя, тем самым, два плеча, регистрирующих рассеяние влево и вправо для одного и того же угла в с.ц.м. Помимо этих детекторов использовались два счетчика для регистрации протонов реакции  $pp$  - квази-упрого рассеяния ( $PP$  - детекторы). Дейтронные и протонные счетчики перемещались в угловом диапазоне  $\theta_{lab} = 19^\circ - 50^\circ$  ( $\theta_{c.m.} = 70^\circ - 120^\circ$ ).  $PP$  - счетчики были установлены под углом, соответствующему  $pp$  - квази упругому рассеянию  $\theta_{c.m.} = 90^\circ$  и оставались неподвижными на протяжении всего эксперимента. Они использовались в качестве относительных мониторов светимости. В основном наборе использовались сцинтиляционные счетчики на базе фотоумножителей Hamamatsu H7416MOD.

Для сбора и записи данных использовалась магистрально-модульная система стандарта VME (VersaModule Eurocard). Эта система позволяет осуществлять контроль запуска записи данных, а также просмотр загрузок каналов в режиме online. В состав VME-системы входят 16-ти канальные модули TQDC-16, триггерный модуль TTCM-V2.0, и контроллер FVME-V1.0.

**Во второй главе** описывается процедура выделения полезных событий, основанная на анализе амплитудных и временных спектров со сцинтиляционных детекторов и процедуры  $CH_2 - C$  вычитания.

Для получения дифференциального сечения  $d\sigma$ -упрого рассеяния необходимо выделение полезного сигнала из общего количества событий. Данные об энергетических потерях записываются в виде амплитуд сигналов с дейтронного и протонного счетчиков. По корреляции этих сигналов можно выделить область упругого взаимодействия дейтрана с протоном. На рис. 1 и 2 представлены корреляции энергетических потерь и разность времени пролета  $\Delta T_{d-p}$  для пары кинематически сопряженных детекторов

при рассеянии на  $CH_2$  - мишени для энергий 650 МэВ/н. Штриховой линией обозначен графический критерий выделения области, внутри которой сосредоточены события  $dp$  - упругого рассеяния. Тот же самый критерий использовался для данных, полученных на углеродной мишени. Пунктирными вертикальными линиями обозначены временные границы для отбора  $dp$  - упругих событий.

В процедуре  $CH_2 - C$  вычитания коэффициент нормировки  $k$  определялся как отношение интегралов амплитудных распределений, набранных на полиэтилене и углероде в области, где количество полезных событий пренебрежительно мало (на рис. 3 А область нормировки ограничена вертикальными линиями).

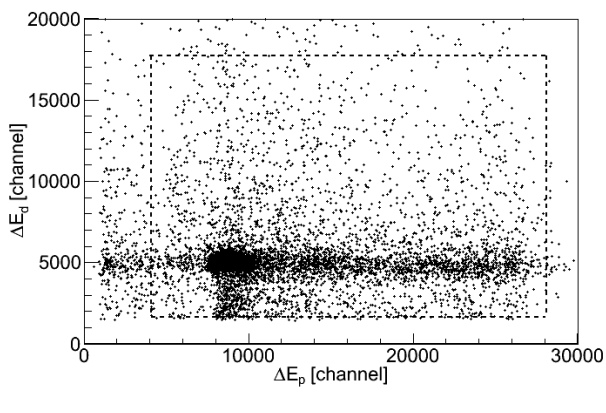


Рис. 1. Корреляция энергетических потерь дейtronов и протонов при энергии 500 МэВ/нуклон для угла рассеяния  $70^\circ$  в с.ц.м. Штриховая линия - графический критерий для выделения событий  $dp$ -упругого рассеяния.

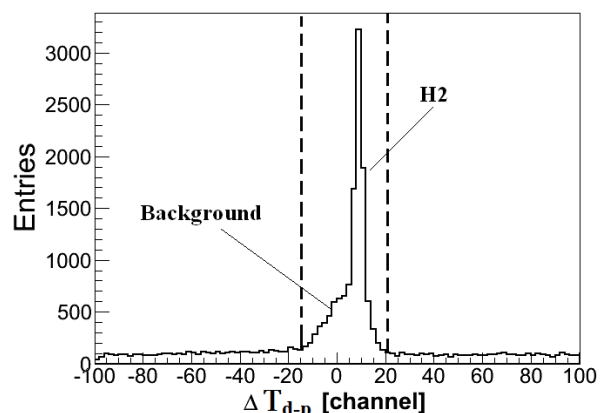


Рис. 2. Разница времени  $\Delta T_{d-p}$  между появлением сигналов с  $D$ - и  $P$ -детекторов при энергии 500 МэВ/нуклон для угла рассеяния  $70^\circ$  в с.ц.м., полученная с применением критерия на корреляцию амплитуд для  $CH_2$  мишени.

На рис. 3 Б продемонстрирован результат вычитания. Область упругих  $dp$ -событий обозначена на рис. 3 Б штриховыми линиями. Данная процедура была выполнена для каждого значения угла рассеяния  $\theta_{c.m.}$ .

**Третья глава** посвящена получению угловых зависимостей дифференциального сечения дейtron-протонного упругого рассеяния. Глава состоит из пяти разделов. В первом оцениваются вклады различных экспериментальных погрешностей на точность выставления детекторов. Во втором

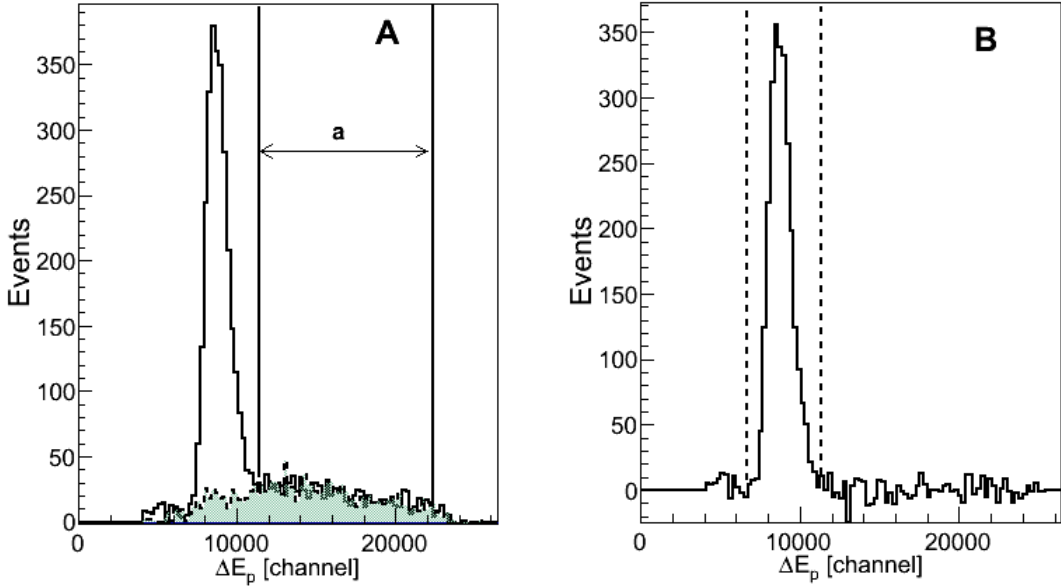


Рис. 3. Гистограммы распределения событий, демонстрирующие процедуру  $CH_2 - C$  вычитания для  $\theta_{c.m.} = 75^\circ$  при энергии 500 МэВ/нуклон. А — амплитудные  $CH_2$  - и нормированный  $C$  - спектры представлены непрерывной и пунктирной гистограммами, соответственно. Вертикальными непрерывными линиями обозначены границы интервала нормировки. В — результат вычитания, вертикальными пунктирными линиями обозначены границы области  $dp$ -упругих событий.

разделе дается общее выражение для вычисления дифференциального сечения и описывается моделирование входящих в это выражение значений эффективного телесного угла и якобиана перехода от лаб. системы к с.ц.м.

В третьем разделе приводится процедура вычисления дифференциального сечения при энергии 1000 МэВ/нуклон. Результаты были получены путем нормировки на мировые данные при  $\theta_{c.m.} = 70.7^\circ$ . Статистическая ошибка связана с вычитанием углеродного фона. Систематическая ошибка определяется нормировкой и процедурой  $CH_2 - C$  вычитания.

В четвертом разделе приводится процедура вычисления дифференциального сечения для энергий 650 и 700 МэВ/нуклон. Сначала вычислялся нормировочный коэффициент для 650 МэВ/нуклон путем нормировки на данные при 641 МэВ/нуклон. Для 700 МэВ/нуклон в этот коэффициент вводилась поправка, определяемая из отношения дифференциальных сечений реакции  $pp$  - упругого рассеяния для 650 и 700 МэВ в диапазоне телесного угла  $PP$ -детектора. Статистическая погрешность дифференциального сечения складывается из неопределенностей количества упругих  $dp$  - событий

и  $PP$  - мониторных событий. Систематическая погрешность сечения определяется процедурой  $CH_2 - C$  - вычитания, неопределенностями якобиана перехода, телесного угла дейtronного детектора и коэффициента нормировки.

В пятом разделе приводится процедура вычисления дифференциального сечения для энергий 500, 750 и 900 МэВ/нуклон. Нормировочные коэффициенты для этих энергий вычислялись, используя экспериментальные результаты при 641 МэВ/нуклон и данные при 700 МэВ/нуклон, полученные ранее на Нуклotronе.

**Четвертая глава** содержит анализ данных, полученных на пучках Синхрофазотрона с использованием 100-см водородной камеры. Даётся описание процедуры получения дифференциального сечения и векторной анализирующей способности.

Набор данных осуществлялся в серии экспериментов на 100-см водородной камере, экспонированной в выведенном пучке дейтронов Синхрофазотрона. Источник поляризованных дейтронов „Полярис“ обеспечивал дейтроны с теоретическими значениями векторной и тензорной поляризаций:  $(P_z, P_{zz}) = (+2/3, 0), (-2/3, 0)$  — поляризованные моды и  $(0, 0)$  — неполяризованная мода.

Для получения результатов использовались распределения событий по углу рассеяния  $\theta_{c.m.}$  и по азимутальному углу  $\varphi$ . Оценка значения векторной поляризации пучка дейтронов производилась с использованием данных для событий реакции развала дейтрана  $dp \rightarrow ppn$ . Значение тензорной поляризации пучка было оценено равным нулю. Интегрированная светимость  $\mathcal{L}$  эксперимента вычислялась как величина, обратная значению микробарн - эквивалента, который, в свою очередь, вычислялся, используя полное сечение для  $dp$ -взаимодействий.

В **пятой главе** полученные результаты сравниваются с данными других экспериментов, а также с предсказаниями теории многократного рассеяния. Также проводится сравнение полученных энергетических зависимостей при фиксированных значениях угла рассеяния в с.ц.м. с существующими экспериментальными данными и предсказаниями правил кваркового счета.

Глава состоит из четырех разделов. В первом описывается релятивистская модель многократного рассеяния. Вычисления проводились в системе Брейта с использованием нерелятивистской СД-Боннской ДВФ. В общем случае амплитуда реакции определяется как сумма четырех слагаемых, которым соответствуют однонуклонный обмен ( $ONE$ ), однократное рассеяние ( $SS$ ), двукратное рассеяние ( $DS$ ) и возбуждение  $\Delta$ -изобары в промежуточном состоянии. Однонуклонный обмен дает вклад только при углах, больших  $90^\circ$  в с.ц.м., поэтому в описании данных при  $1000$  МэВ/нуклон этот механизм не был включен в рассмотрение. Таким образом, амплитуда реакции рассчитывалась как сумма двух вкладов. Также для этой энергии не был включен в рассмотрение механизм возбуждения  $\Delta$ -изобары. Для энергий  $500 - 900$  МэВ/нуклон дифференциальное сечение вычислялось для трех случаев: включая диаграммы только однонуклонного обмена и однократного рассеяния ( $ONE + SS$ ), с добавлением вклада двукратного рассеяния ( $ONE + SS + DS$ ) и полные расчеты с учетом вклада от возбуждения  $\Delta$ -изобары ( $ONE + SS + DS + \Delta$ ).

Во втором разделе приводятся результаты по измерению дифференциального сечения и векторной анализирующей способности  $A_y$  при энергии  $1000$  МэВ/нуклон. На рис. 4 и 5 представлены данные, полученные из экспериментов на выведенном пучке Синхрофазотрона (обозначены сплошными символами). Открытыми символами на рис. 4 обозначены данные, полученные на Брукхейвенском космotronе (BNL) [3], на рис. 5 - данные Аргоннской национальной лаборатории (ANL) [4]. Полученные два набора данных согласуются в пределах достигнутой точности в области, где они перекрываются. Пунктирными и сплошными линиями обозначены расчеты без учета и с учетом вклада  $DS$  соответственно. Как видно, включение в расчеты вклада двукратного рассеяния, с одной стороны, уменьшает значение сечения в диапазоне настоящих измерений и, с другой стороны, обеспечивает неплохое согласие с экспериментальными результатами до  $\sim 60^\circ$  в с.ц.м.. В случае с анализирующей способностью  $A_y$  механизм однократного рассеяния не воспроизводит экспериментальные данные при углах рассеяния  $\theta_{c.m.}$  больше, чем  $25^\circ$ . Вычисления с учетом двукратного рассеяния дают лучшее

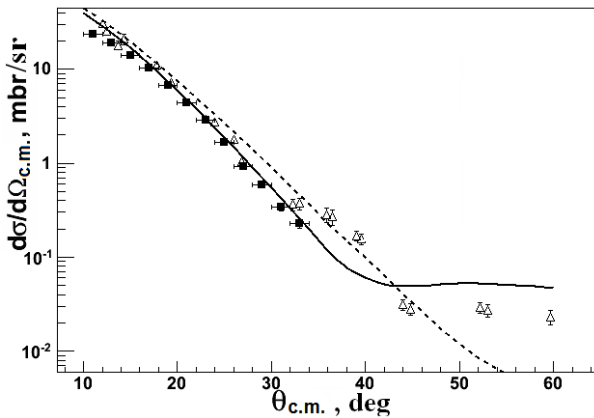


Рис. 4. Угловая зависимость дифференциального сечения для  $dp$ -упругого рассеяния при энергии 1000 МэВ/нуклон. Сплошными квадратами показаны результаты данной работы. Открытыми треугольниками — данные BNL [3]. Описание линий находится в тексте.

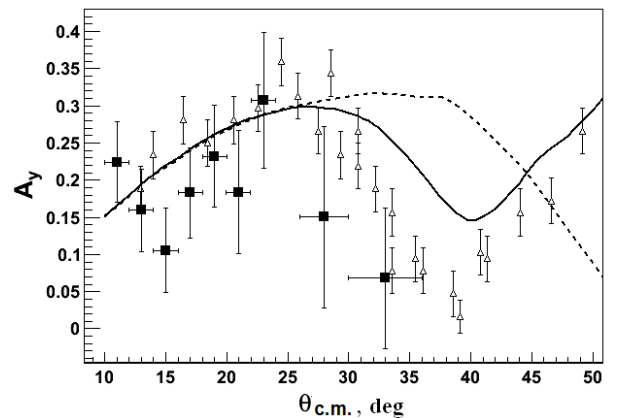


Рис. 5. Векторная анализирующая способность  $A_y$  как функция от угла рассеяния  $\theta_{c.m.}$ . Сплошными квадратами показаны результаты данной работы. Треугольниками — данные, полученные в ANL [4]. Описание линий находится в тексте.

согласие с экспериментальными данными в этой угловой области.

На рис. 6 представлены данные, полученные на Нуклотроне, для дифференциального сечения при 1000 МэВ/нуклон в сравнении с другими экспериментальными результатами при той же энергии и с теоретическими предсказаниями. Новые данные показаны сплошными квадратами. Полученные ранее данные для передних углов показаны сплошными кружками. Открытыми треугольниками обозначены данные BNL. Пунктирной и сплошной линиями обозначены результаты расчетов без учета и с учетом вклада  $DS$ , соответственно. Видно, что новые результаты при  $\theta_{c.m.} \leq 90^\circ$  находятся в разумном согласии с другими данными в пределах достигнутой точности.

В третьем разделе приводятся результаты по измерению дифференциального сечения  $dp$ -упругого рассеяния для энергий 500 — 900 МэВ/нуклон (рис. 7 - 11). Сплошными квадратами обозначены результаты, полученные на Нуклотроне. Экспериментальные данные при 425 [5], 470 [6] и 580 [7] МэВ/нуклон обозначены ромбами, кружками и треугольниками соответственно. Результаты экспериментов при энергиях 641.3, 792.7 [8] и 800 [9] МэВ/нуклон обозначены открытыми ромбами, треугольниками и кружка-

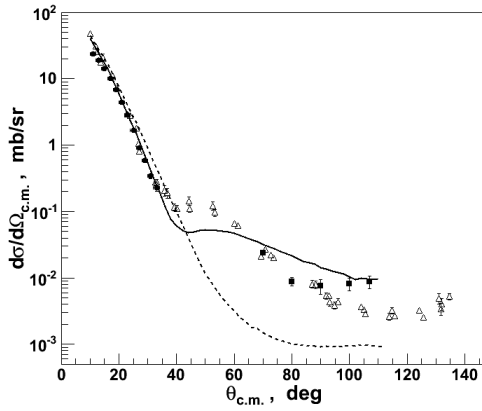


Рис. 6. Дифференциальное сечение  $dp$ -упругого рассеяния при 1000 МэВ/нуклон. Квадраты — данные, полученные на Нуклotronе, кружки — данные, полученные на Синхрофазотроне, треугольники — данные BNL [3]. Описание линий находится в тексте.

ми соответственно. Дифференциальное сечение вычислялось для трех случаев: включая диаграммы только однонуклонного обмена и однократного рассеяния ( $ONE + SS$ ), с добавлением вклада двукратного рассеяния ( $ONE + SS + DS$ ) и полные расчеты с учетом вклада от возбуждения  $\Delta$ -изобары ( $ONE + SS + DS + \Delta$ ). На рисунках вычисления  $ONE + SS$ ,  $ONE + SS + DS$  и  $ONE + SS + DS + \Delta$  обозначены прерывистой, штриховой и сплошной линиями соответственно.

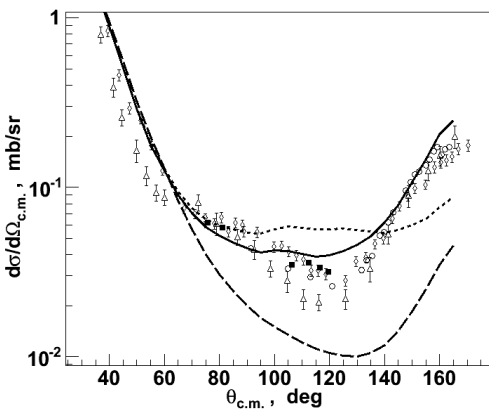


Рис. 7. Дифференциальное сечение  $dp$ -упругого рассеяния при 500 МэВ/нуклон. Сплошные квадраты — данные, полученные на Нуклotronе, ромбы, кружки и треугольники — данные при 425 [5], 470 [6] и 580 [7] МэВ/нуклон соответственно.

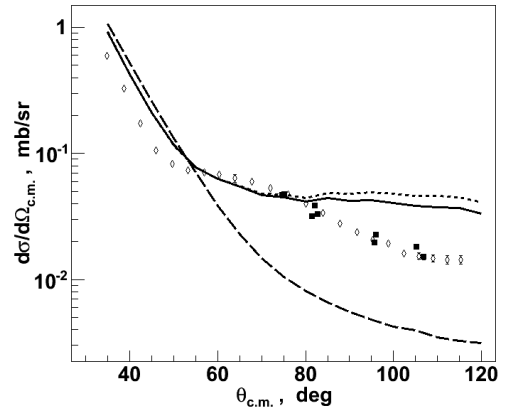


Рис. 8. Дифференциальное сечение упругого  $dp$ -рассеяния при 650 МэВ/нуклон. Квадраты — результаты измерений на Нуклotronе, ромбы — данные при 641.3 МэВ/нуклон [8].

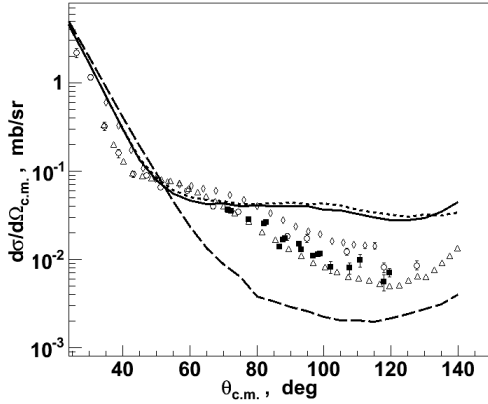


Рис. 9. Дифференциальное сечение  $d\sigma$ -упругого рассеяния при 700 МэВ/нуклон. Квадраты — результаты измерений на Нуклотроне, ромбы, треугольники и кружки — данные для 641.3, 792.7 [8] и 800 [9] МэВ/нуклон соответственно.

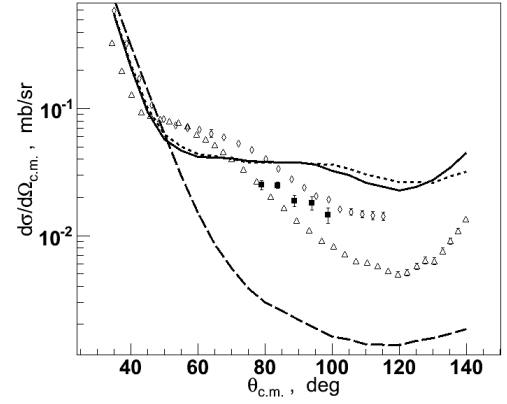


Рис. 10. Дифференциальное сечение упругого  $d\sigma$ -рассеяния при 750 МэВ/нуклон. Квадраты — результаты измерений на Нуклотроне, ромбы и треугольники — данные для 641.3 и 792.7 [8] МэВ/нуклон соответственно.

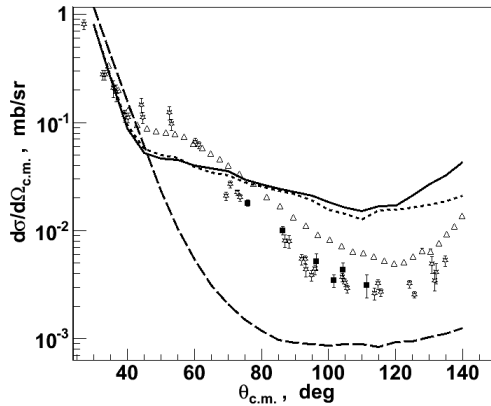


Рис. 11. Дифференциальное сечение  $d\sigma$ -упругого рассеяния при 900 МэВ/нуклон. Квадраты — данные, полученные на Нуклотроне. Треугольники и звезды — данные при 792.7 [8] и 1000 [3] МэВ/нуклон соответственно.

Из рис. 7 — 11 видно, что при всех значениях энергий данные на Нуклотроне в пределах достигнутой точности находятся в хорошем согласии с поведением других экспериментальных данных [3] — [9] при близких энергиях. Из сравнения теории с экспериментом видно, что расчеты с включением только вкладов  $ONE + SS$  воспроизводят результаты эксперимента только при относительно небольших углах рассеяния. Учет вкладов  $DS$  и  $\Delta$ -изобары позволяет приблизиться к описанию поведения сечения. Наи-

лучшее согласие теории с экспериментом наблюдается при 500 МэВ/нуклон. Расхождение между экспериментальными данными и предсказаниями теории увеличиваются с ростом энергии.

В четвертом разделе приводятся энергетические зависимости дифференциального сечения  $dp$ -упрого рассеяния для шести фиксированных углов рассеяния в с.ц.м. ( $\theta_{c.m.} \approx 75^\circ, 82^\circ, 95^\circ, 100^\circ, 106^\circ, 111^\circ$ ,) в диапазоне кинетической энергии в лаб. системе 0.47 — 1 ГэВ/нуклон, соответствующего диапазону полной энергии  $\sqrt{s} = 3.1 - 3.42$  ГэВ. Результаты сравниваются с расчетами правил кваркового счета (ПКС), которые предсказывают зависимость дифференциального сечения для бинарных реакций как  $1/s^{2n_q-2}$ , где  $n_q$  — полное количество фундаментальных конституентов, входящих в реакцию (для  $dp$ -упрого рассеяния  $n_q = 9$ ).

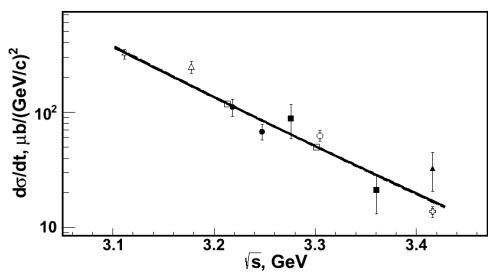


Рис. 12. Дифференциальное сечение упругого  $dp$ -рассеяния для угла рассеяния  $\theta_{c.m.} \approx 95^\circ$ . Сплошные символы — данные, полученные на Нуклotronе, открытые символы — результаты других экспериментов. Описание линий приводится в тексте.

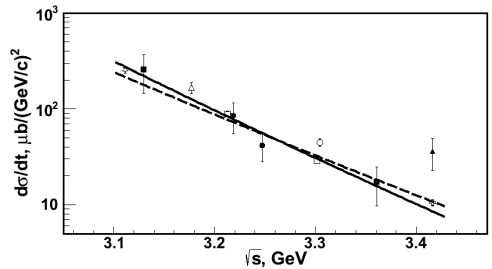


Рис. 13. Дифференциальное сечение упругого  $dp$ -рассеяния для угла рассеяния  $\theta_{c.m.} \approx 106^\circ$ . Обозначения такие, как на рис. 12.

Сплошными символами представлены данные, полученные на Нуклotronе. Результаты других экспериментов показаны открытыми символами. Сплошной и прерывистой линиями обозначены результаты аппроксимации всех экспериментальных данных зависимостями  $\sim s^{-n}$  и  $\sim s^{-16}$  соответственно. Результаты, полученные на Нуклotronе находятся в хорошем согласии с экспериментальными данными, полученными ранее. Наилучшее согласие экспериментов с предсказаниями ПКС достигается при  $\theta_{c.m.} 95^\circ$ . Наличие расхождений при других углах указывает на необходимость проведения новых более точных измерений.

В заключении приведены основные результаты работы, которые заключаются в следующем:

1. Получены новые систематические данные для дифференциального сечения и векторной анализирующей способности  $A_y$  реакции  $dp$ -упрого рассеяния при энергиях 500 – 1000 МэВ/нуклон. Основная часть новых результатов получена в области углов рассеяния  $70^\circ < \theta_{c.m.} < 120^\circ$ , что соответствует области больших переданных импульсов, где наиболее существенны расхождения экспериментальных результатов с предсказаниями теории. Угловые зависимости, полученные на Нуклотроне, находятся в хорошем согласии с данными других экспериментов. Таким образом, новые результаты существенно пополняют базу экспериментальных данных в области энергий и углов, где развитие теоретических моделей является наиболее актуальным.
2. В результате сравнения полученных угловых зависимостей с теоретическими вычислениями выявлена важность учета вкладов двукратного рассеяния и возбуждения  $\Delta$ -изобары для описания экспериментальных данных. Наилучшее согласие теории с экспериментом наблюдается при 500 МэВ/нуклон. Расхождение между экспериментальными данными и предсказаниями теории увеличиваются с ростом энергии.
3. Установлено соответствие энергетических зависимостей дифференциального сечения  $dp$ -упрого рассеяния для шести фиксированных углов рассеяния в с.ц.м. с поведением данных других экспериментов, а также с предсказаниями ПКС. Данные соответствуют диапазону кинетической энергии в лаб. системе 0.5 – 1 ГэВ/нуклон. Наилучшее согласие достигается в области углов, близких к  $90^\circ$  в с.ц.м. Однако, имеющиеся расхождения между результатами экспериментов и предсказаниями ПКС при других углах свидетельствуют о необходимости новых систематических измерений в области больших углов рассеяния.

В приложениях приведены кинематические расчеты углов рассеяния в лаб. системе и в с.ц.м., а также дается определение векторной анализирующей способности.

## Публикации автора по теме диссертации

- A1. Terekhin A. A. et al. The differential cross section in deuteron - proton elastic scattering at 500, 750 and 900 MeV/nucleon. // Eur. Phys. J. A. — 2019. — V.55. — P.129.
- A2. Glagolev V. V. et al. Measurement of the differential cross-section and deuteron vector analyzing power in dp-elastic scattering at 2.0-GeV. // Eur. Phys. J. A. — 2012. — V.48. — P.182.
- A3. Terekhin A. A. et al. Differential Cross Section for Elastic Deuteron-Proton Scattering at the Energy of 700 MeV per Nucleon. // Phys.Atom.Nucl. — 2017. — 80 no.6. — P. 1061-1072.
- A4. Terekhin A. A. et al. Study of the dp-elastic scattering at 2 GeV. // Phys. Part. Nucl. Lett. — 2015. — V.12.(5). — P.1076-1085.
- A5. Терехин А. А. и др. Дифференциальное сечение и векторная анализирующая способность реакции упругого dp – рассеяния при энергии 2 ГэВ // Научные ведомости БелГУ, серия физико-математическая. — 2010. — Вып.21. — С.114-121.
- A6. Терехин А. А. и др. Годоскоп сцинтилляционных счетчиков для экспериментов на выведенном пучке Нуклотрона ОИЯИ, Научные ведомости БелГУ, серия «Математика. Физика». — 2012. — №11(130). Вып.27. — С.207-213.
- A7. Терехин А. А. и др. Годоскоп сцинтилляционных счетчиков для экспериментов по исследованию структуры легких ядер на Нуклоне-М // Известия Тульского государственного университета, серия: Естественные науки. — 2011. — Вып.3. — С.151-160.
- A8. Piyadin S. M. et al. First extraction of the 3.42-A-GeV  $^{12}C$  beam for studies of baryonic matter at nuclotron, Phys.Part.Nucl.Lett. — 2012. — V.9. — P.589-592.
- A9. Терехин А. А. и др. Развитие время-пролетной системы для экспериментов по исследованию структуры легких ядер на Нуклоне-М. // Научные ведомости БелГУ,серия физико-математическая. — 2009. — Вып.1. — С.124-131.

- A10. Terekhin A. A. et al. The differential cross section for dp-elastic scattering at 500-900 MeV/n and large transverse momenta, EPJ Web Conf. 204 (2019) 10010.
- A11. Терехин А.А. и др. Дифференциальное сечение и векторная анализирующая способность реакции упругого dp – рассеяния при энергии 2 ГэВ. // XV конференция молодых ученых и специалистов, Дубна, ОИЯИ, (Февраль, 14-19, 2011). С.172-175.
- A12. Terekhin A. A. et al. Measurement of differential cross section and vector analyzing power in d-p elastic scattering at 2.0 GeV. // Proceedings of the "XIV Workshop on High Energy Spin Physics Dubna, Russia, September 20-24. 2011. P.357-360.
- A13. Terekhin A. A. et al. Analyzing power and cross section of dp-elastic scattering at 2.0 GeV. // The proceedings of the international Workshop "Hadron Structure and QCD". 2012. P.296.
- A14. Terekhin A. A. et al. The measurements of the differential cross section in dp-elastic scattering at the energies between 500 and 1000 MeV/nucleon. // Proceedings of the International Workshop - Relativistic Nuclear Physics: from Hundreds of MeV to TeV. 2014. P.113-118.
- A15. Ladygin V. P. et. al. Few-body Studies at Nuclotron-JINR. // Few Body Syst. 2014. V.55.no.8-10. P.709-712.
- A16. Terekhin A. A. et al. The differential cross section in the dp-elastic scattering at the energies from 500 to 1000 MeV/nucleon. // Proceedings of the XXII International Baldin Seminar on High Energy Physics Problems, PoS(Baldin ISHEPP XXII)099. (2015).
- A17. Terekhin A. A. et al. The study of dp-elastic scattering at the energies from 500 to 1000 MeV/nucleon. // Proceedings of The 9th joint International HADRON STRUCTURE '15 Conference, Int. J. Mod. Phys. Conf. Ser. 2015. V.39. 1560096
- A18. Terekhin A. A. et al. Study of dp-elastic scattering at energies 650, 750 and 1000 MeV/nucleon. // Proceedings of the HADRON STRUCTURE '13 Conference, Nuclear Physics B (Proceedings Supplements) 2013. V.245C. P.185-187.

- A19. Terekhin A. A. et al. The differential cross section for the dp-elastic scattering at 500 to 900 MeV/nucleon. // Proceedings of the XXIII International Baldin Seminar on High Energy Physics Problems, EPJ Web.Conf. 2017. 138. 03012.
- A20. Janek M. et. al. Investigation of the dp Breakup and dp Elastic Reactions at Intermediate Energies at Nuclotron. // Few Body Syst. 2017. 58 no.2. 40.
- A21. Терехин А. А. и др. Время-пролетная система для экспериментов по исследованию структуры легких ядер на Нуклotronе-М. // XIV конференция молодых ученых и специалистов, Дубна, ОИЯИ, (Февраль, 1-6, 2010). С.159-162.
- A22. Terekhin A. A. et al. Preparation of experiments to study light nuclei structure at Nuclotron. // PoS Baldin-ISHEPP-XXI 2012. 005. P.6.
- A23. Terekhin A. A. et al. Experiments to study of the dense baryonic matter at Nuclotron. // Proceedings of the International Workshop - Relativistic Nuclear Physics: from Hundreds of MeV to TeV. 2012. P.106.

## Список цитируемой литературы

1. W. Glockle, H. Witala, D. Huber, H. Kamada and J. Golak. // Phys.Rept. — 1996. — V.274. — P.107.
2. N. Kalantar-Nayestanaki, E. Epelbaum, J.G. Messchendorp and A. Nogga. // Rept.Prog.Phys. —2012. — V.75. — 016301.
3. Bennet G. W. et al. // Phys. Rev. Lett. — 1967. — V19. — P.387.
4. Haji-Saied M. et al. // Phys. Rev. C. — 1987. — V.36. — P.2010.
5. Both N. E. et al. // Phys. Rev. D. — 1971. — V4. — P.1261.
6. Alder J. C. // Phys. Rev. C. — 1972. — V6. — P.2010.
7. Vincent J. S. // Phys. Rev. Lett. — 1970. — V24.5. — P.236.
8. Gulmez E. et al. // Phys. Rev. C. — 1991. — V5. — P.2067.
9. Winkelmann E. et al. // Phys. Rev. C. — 1980. — V21. — P.2535.